

## C0r0n@ 2 Inspect

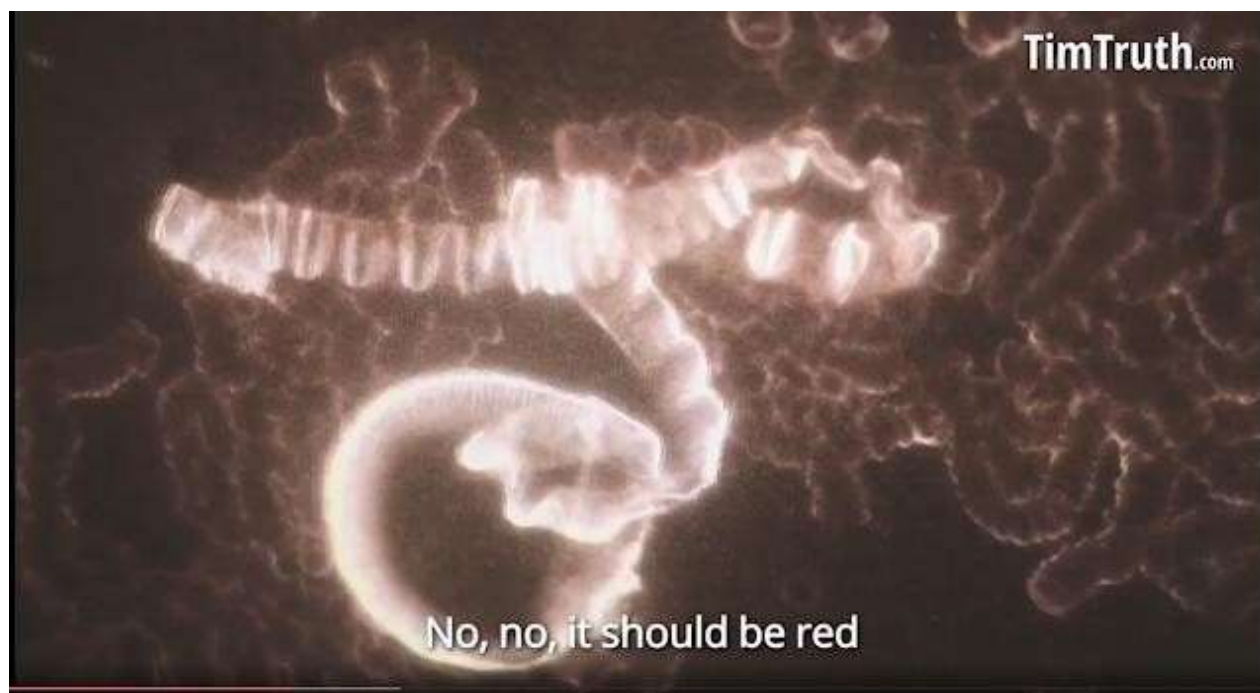
Обзор и анализ научных статей, связанных с экспериментальными методиками и методами, используемыми в вакцинах против c0r0n@v|rus, доказательствами, ущербом, гипотезами, мнениями и проблемами.

**Воскресенье, 29 августа 2021 г.**

### **Выявление закономерностей в крови вакцинированных людей: микронаторы**

Недавно вышел короткий документальный фильм об обсуждениях результатов анализов крови вакцинированных людей (Tim Truth. 2021a). После внимательного просмотра C0r0n @ 2Inspect пришел к выводу, что есть совпадения или, по крайней мере, выявление нескольких закономерностей с нанотехнологиями, которые могли бы быть ориентированы на сборку спинтронных устройств с графеном или оксидом графена, или распространение лекарств, или реализацию интерфейсов или датчиков для удаленной активации, или другие приложения, которые все еще исследуются.

В частности, это рисунок 1, на котором изображена волнистая, сложенная нить, по форме напоминающая слегка намотанную ленту.



*Рис. 1. Волокно с металлическим отражением под микроскопом, обнаруженное в анализах крови вакцинированных людей, согласно источнику (Тим Трут, 2021a)*

Ну, эта форма была рассмотрена в статье (Chen, XZ; Hoop, M.; Mushtaq, F.; Siringil, E.; Hu, C.; Nelson, BJ; Pané, S. 2017) относительно нанороботов с магнитным приводом. В

частности, это относится к мягким плавающим нанороботам в форме ленты, изготовленным из гидрогелей, которые реагируют на стимулы, см. рисунки 2 и 3.

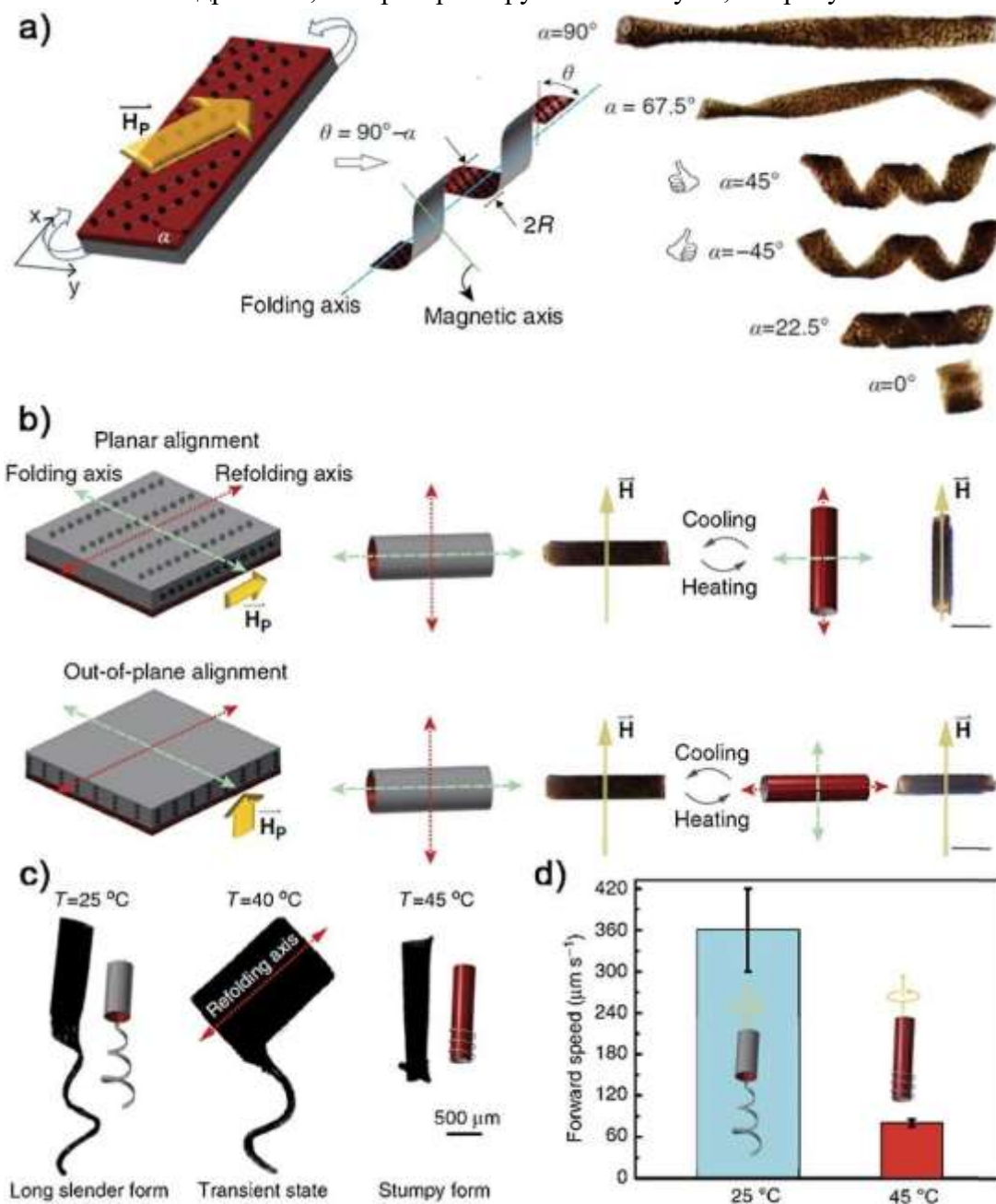


Рис. 2. Спиральные нанороботы, управляемые выровненными магнитными наночастицами, встроенными в гидрогель. (Chen, XZ;

Хуп, М.; Муштак, Ф.; Сирингил, Э.; Ху, К.; Нельсон, Би Джей; Пани, С. 2017)

Если вы посмотрите на таблицу а) рисунка 2, в правом поле вы можете увидеть, что форма наноробота почти идентична той, что показана на рисунке 1. Это также можно увидеть в таблице с) рисунка 2, где прослеживается, как толщина ленты может меняться в зависимости от конструкции жгутика наноробота. На рисунке 3 можно увидеть увеличенные детали, упомянутые на рисунке 2.

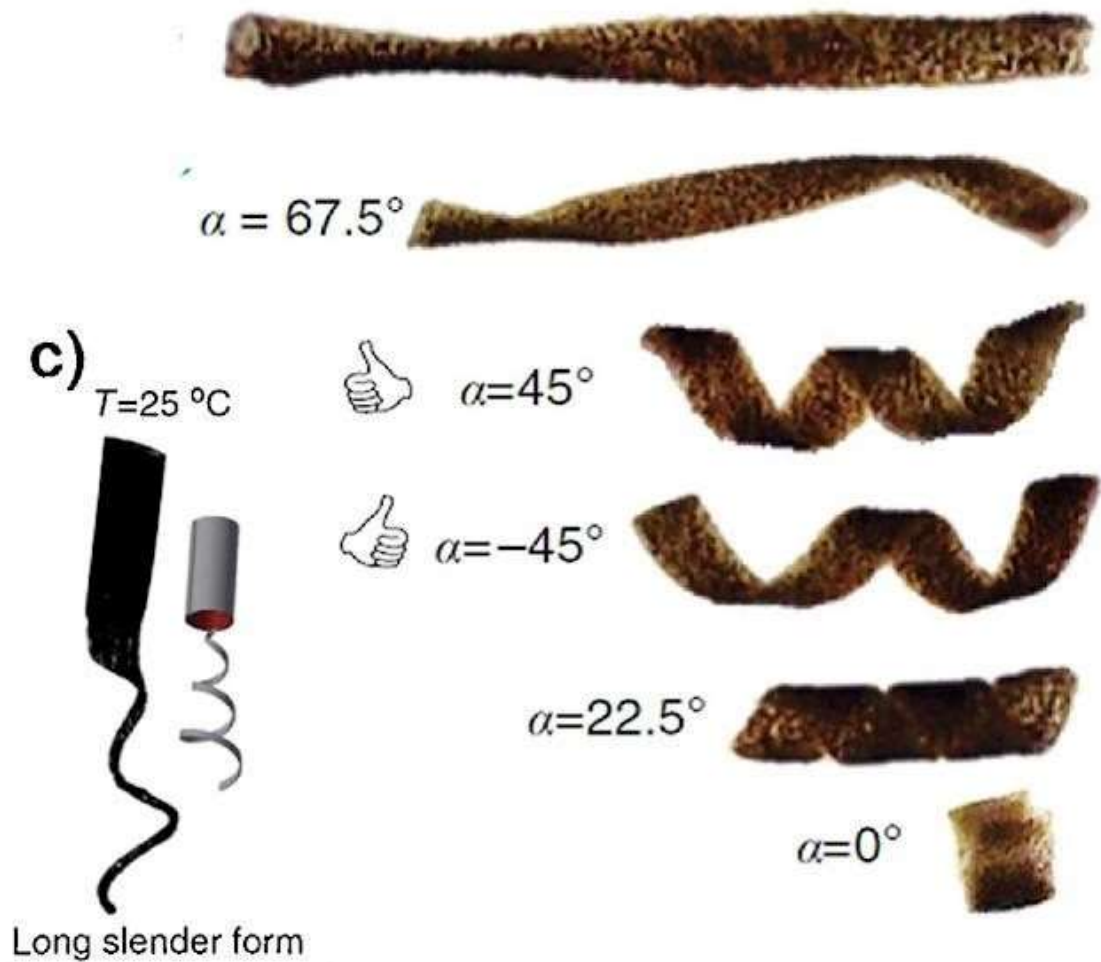


Рис. 3. Детальное увеличение паттернов, обнаруженных в статье, которые соответствуют паттернам, обнаруженным в образце крови. (Чен, ХЗ; Хуп, М.; Муштак, Ф.; Сирингил, Э.; Ху, К.; Нельсон, Б.Дж.; Пане, С. 2017)

По словам исследователей статьи, в которой была обнаружена эта закономерность (Chen, XZ; Hoop, M.; Mushtaq, F.; Siringil, E.; Hu, C.; Nelson, BJ; Pané, S. 2017), для того, чтобы сделать использование наноботов доступным в биомедицине, требуются « мягкие материалы, чувствительные к стимулам », которые могут быть вызваны электромагнитным полем. Они также добавляют, что « использование этих материалов дает возможность связать локомоцию и функциональность мелких пловцов для определенных условий окружающей среды ». Например, водную среду, которая может быть обнаружена в кровотоке, где была обнаружена закономерность совпадения. Они также добавляют пример (Huang, HW; Sakar, MS; Petruska, AJ; Pané, S.; Nelson, BJ 2016), который они объясняют следующим образом: « описали другой подход к изготовлению реконфигурируемых мягких структур, таких как спирали и трубчатые головки со спиральными хвостами, с использованием фотолитографии (см. рисунки 2 и 3). Складывание монослоев или бислоев гидрогеля можно было бы удобно предопределить путем выравнивания магнитных частиц во время последовательности изготовления. Выравнивание магнитных наночастиц не только направляло сворачивание структур

гидрогеля и позволяло их повторное сворачивание с помощью нагревания в ближнем ИК-диапазоне, но также определяло ось легкого намагничивания структуры». В этом объяснении есть элементы, которые идеально соответствуют существованию оксида графена в вакцинах s0r0n@v|rus. Фактически, магнитные наночастицы, которые могут направлять складывание нанобота, могут быть оксидом графена, поскольку это единственный материал, который реагирует на нагрев в ближнем инфракрасном (Near Infrared) или ближнем инфракрасном диапазоне, что обосновано в следующих работах (Khan, MS; Abdelhamid, HN; Wu, HF 2015 | Liu, W.; Zhang, X.; Zhou, L.; Shang, L.; Su, Z. 2019 | Robinson, JT; Tabakman, SM; Liang, Y.; Wang, H.; SanchezCasalongue, H.; Vinh, D.; Dai, H. 2011 | Ji, M.; Jiang, N.; Chang, J.; Sun, J. 2014) Продолжая обзор работы (Chen, XZ; Hoop, M.; Mushtaq, F.; Siringil, E.; Hu, C.; Nelson, BJ; Pané, S. 2017) добавляют объяснение формы нанобота и его взаимодействия с инфракрасным излучением «*Под воздействием ближнего инфракрасного излучения (БИК) мягкие микромашины с двухслойной трубчатой головкой и однослойным спиральным жгутиком могли менять свою морфологию с длинной тонкой формы на приземистую форму. Длинная и тонкая форма состояла из двухслойной трубчатой головки с однослойным хвостом, в то время как приземистая морфология соответствовала сложенной трубке со жгутиками, обернутыми вокруг кончика головки. Хотя обе структуры могли действовать как штопоры во вращающихся полях, длинная и тонкая форма демонстрировала более высокую скорость движения, чем короткая и приземистая форма*». «Любопытно, что тонкая и удлиненная форма показана на рисунке 1. Кроме того, исследователи добавляют, что этот тип «*мягких микромашин*» перспективен для конкретных приложений по введению лекарств», что позволяет предположить, что с высокой вероятностью именно это и наблюдалось в документальном фильме, транслировавшемся в (Тим Трут, 2021a) и в программе 119 (Дельгадо, Р.; Севильяно, Дж. Л., 2021).

Также цитируется работа (Fusco, S.; Huang, HW; Peyer, KE; Peters, C.; Häberli, M.; Ulbers, A.; Pané, S. 2015) по микророботам для медицинских применений, в которой конкретно упоминается разработка этих устройств и «*динамически изменяющиеся гидрогелевые бислои на их производительность для навигации в отверстиях тела и доставки лекарств по требованию*» и, что более важно, «*Трубчатые микророботы изготавливаются путем соединения термостойкого гидрогелевого нанокompозита со слоем поли (этиленгликоль) диакрилата (PEGDA) для достижения спонтанного и обратимого складывания из плоской прямоугольной структуры. Покрытые кремнием суперпарамагнитные наночастицы оксида железа (GO) или оксида графена диспергируются в термочувствительной гидрогелевой матрице для обеспечения чувствительности к ближнему инфракрасному (NIR) свету или магнитной активации соответственно*». «Это соответствует и подтверждает оксид графена в вакцинах, использование поли (этиленгликоля), известного как ПЭГ, для его покрытия, активации инфракрасными и электромагнитными полями (вероятно, электромагнитными волнами 5G среди прочих). Наконец, добавляется, что «*Эти концепции в конечном итоге применяются к спиральным микророботам, чтобы показать возможный способ достижения автономного поведения*», что оправдывает и гарантирует, что они применяются к микророботам с уже отмеченной формой спиральной ленты. В статье подробно объясняется процедура изготовления оксида графена GO, используемого в прототипах, а также бислои гидрогеля и характеристика магнитных наночастиц Fe<sub>2</sub>O<sub>3</sub> (очень близко к формуле Fe<sub>3</sub>O<sub>4</sub>). С другой стороны, необходимо сослаться на проведенный эксперимент по введению лекарств, в котором «*микротрубки на основе GO, чувствительные к ближнему инфракрасному свету, были изготовлены*

способом, аналогичным магнитному микророботу. После полной лиофилизации они были набухшими в растворе ярко-зеленого красителя (BG), чтобы имитировать процесс загрузки небольшого гидрофильного лекарства. Ближний инфракрасный свет использовался для того, чтобы дистанционно вызвать коллапс матрицы или изменение формы, а влияние на кинетику высвобождения было записано и сравнено для обеих систем». «В дополнение к доказательствам доставки или доставки лекарства, процесс складывания ленты также изучался в диапазоне температур от 20° до 45°, что было бы совместимо с температурой человеческого тела. Функция температуры гидрогелевой ленты будет принимать другую складку, как показано на рисунке 5.

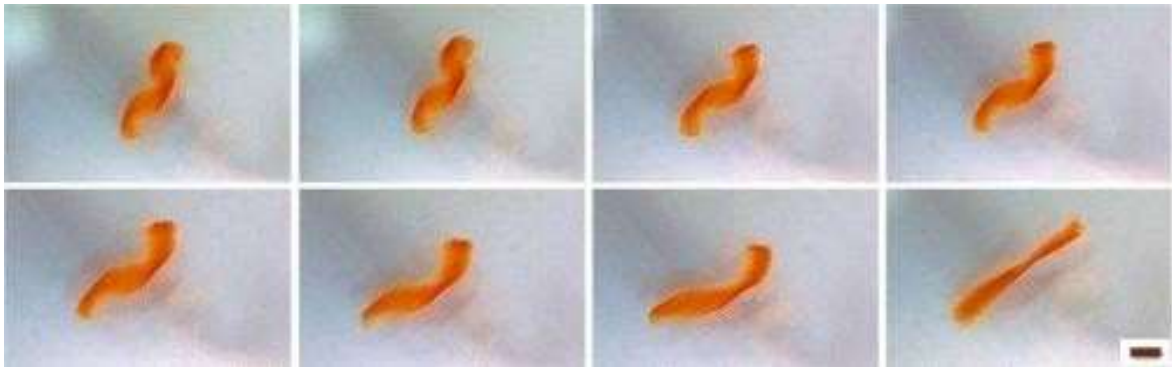


Рис. 5. Складывание магнитной гидрогелевой ленты в зависимости от температуры. (Fusco, S.; Huang, HW; Peyer, KE; Peters, C.; Häberli, M.; Ulbers, A.; Pané, S. 2015)

### Обратная связь

1. По-видимому, существует важное совпадение в картине, наблюдаемой в крови вакцинированных людей, как сообщается в (Tim Truth. 2021a) с микророботами с магнитной гидрогелевой лентой (Chen, XZ; Хуп, М.; Муштак, Ф.; Сирингил, Э.; Ху, К.; Нельсон, Би Джей; Пана, С. 2017 | | Фуско, С.; (Хуан, Х. В.; Пейер, К. Э.; Петерс, К.; Хеберли, М.; Ульберс, А.; Пана, С. 2015 | Хуан, Х. В.; Сакар, М. С.; Петрушка, А. Дж.; Пана, С.; Нельсон, Б. Дж. 2016). Этот тест позволяет нам сделать вывод, что введенные вакцины c0r0n@v|rus с высокой вероятностью могут содержать этот тип нанотехнологий.
2. Плавающие роботы (или магнитные гидрогелевые ленточные микророботы) соответствуют всем известным деталям о графеновом оксиде, магнетизме и инфракрасном излучении для их активации, управления и руководства в телесных жидкостях человеческого тела, особенно в кровотоке. В дополнение к автономности движений и изменению формы в зависимости от температуры, они могут служить для автоматической доставки или доставки лекарств. Поэтому неудивительно, что повышение температуры тела, как реакция на прививку вакцины, вызовет активацию и высвобождение лекарств, которые они могли бы гипотетически переносить.
3. Однако также возможно, что эти механизмы были опосредованы беспроводным способом электромагнитными волнами, которые в то же время позволяли ориентировать эти устройства на цели или цели в теле хозяина. Хотя гидрогель PEGDA пловца избегает известных проблем цитотоксичности с оксидом графена, это происходит только в течение некоторого времени (12 недель), пока он не распадается (Browning, MB; Cereceres, SN; Luong, PT; Cosgriff-Hernandez, EM 2014) и не вступает в

контакт с кровью и клетками тела. В худшем случае была измерена продолжительность всего 4 дня. Это также может дать некоторые подсказки для обнаружения случаев токсичности после инокуляции вакцин.

## Библиография

1. Браунинг, МБ; Цересерес, СН; Луонг, ПТ; Косгриф-Эрнандес, ЭМ (2014). Определение механизма деградации гидрогелей ПЭГДА *in vivo*. Журнал исследований биомедицинских материалов, часть А, 102 (12), стр. 4244-4251.  
<https://doi.org/10.1002/jbm.a.35096>
2. Chen, XZ; Hoop, M.; Mushtaq, F.; Siringil, E.; Hu, C.; Nelson, VJ; Pané, S. (2017). Последние разработки в области магнитно-управляемых микро- и нанороботов. *Applied Materials Today*, 9, стр. 37-48. ч <https://doi.org/10.1016/j.apmt.2017.04.006>
3. Дельгадо, Р.; Севильяно, JL (2021). Nocturno Quinta Columnna - Программа 119. La Quinta Columnna. <https://odysee.com/@laquintacolumnna:8/DIRECTONOCURNODELAQUINTACOLUMNNA-PROGRAMA119-:2>
4. Fusco, S.; Huang, HW; Peyer, KE; Peters, C.; Häberli, M.; Ulbers, A.; Pané, S. (2015). Микророботы с переключением формы для медицинских приложений: влияние формы на доставку лекарств и передвижение. *Прикладные материалы и интерфейсы ACS*, 7 (12), стр. 6803-6811. <https://doi.org/10.1021/acsami.5b00181>
5. Хуан, Х. В.; Сакар, М. С.; Петрушка, А. Дж.; Панае, С.; Нельсон, Б. Дж. (2016). Мягкие микромашины с программируемой подвижностью и морфологией. *Nature communications*, 7 (1), стр. 1-10.  
<https://doi.org/10.1038/ncomms12263>
6. Ji, M.; Jiang, N.; Chang, J.; Sun, J. (2014). Высокоэффективные двухслойные актуаторы, работающие в ближнем инфракрасном диапазоне, на основе модифицированного полидофамином восстановленного оксида графена. *Advanced Functional Materials*, 24 (34), стр. 5412-5419. <https://doi.org/10.1002/adfm.201401011>
7. Хан, М.С.; Абдельхамид, Х.Н.; Ву, Х.Ф. (2015). Активация поверхности нанопластин оксида графена с помощью лазера ближнего инфракрасного (БИК) диапазона для эффективного антибактериального, противогрибкового и ранозаживляющего лечения. *Коллоиды и поверхности В: Биоинтерфейсы*, 127, стр. 281-291.  
<https://doi.org/10.1016/j.colsurfb.2014.12.049>
8. Лю, В.; Чжан, Х.; Чжоу, Л.; Шан, Л.; Су, З. (2019). Гибридизированный гидрогель восстановленного оксида графена (rGO) как платформа с ближней инфракрасной (NIR)/двойной рН-чувствительностью для комбинированной химиофототермической терапии. *Журнал коллоидной и интерфейсной науки*, 536, стр. 160-170.  
<https://doi.org/10.1016/j.jcis.2018.10.050>
9. Робинсон, Дж. Т.; Табакман, С. М.; Лян, И.; Ван, Х.; Санчес-Касалонг, Х.; Винь, Д.; Дай, Х. (2011). Сверхмалый восстановленный оксид графена с высоким поглощением в ближнем инфракрасном диапазоне для фототермической терапии. *Журнал Американского химического общества*, 133 (17), стр. 6825-6831.  
<https://doi.org/10.1021/ja2010175>

10. Тим Трут. (2021a). Анализ вакцины и крови под микроскопом, представленный независимыми исследователями, юристами и врачом.

<https://odysee.com/@TimTruth:b/microscope-vaccine-blood:9>

11. Тим Трут. (2021b). Еще больше анализов крови на вакцины: клетки крови, как сообщается, свертываются после вакцинации. <https://odysee.com/@TimTruth:b/Blood-clotting-analysis:f>